

NO 分子 $A^2\Sigma^+$ 和 $E^2\Sigma^+$ 能级的 LIF 光谱*

宗明仁** 张培林 赵朔嫣

(清华大学现代应用物理系, 100084)

摘要: 本文报道了单光子激发 NO 分子 $A^2\Sigma^+(v=0)$ 能级的 LIF 光谱研究, 其观测到 $A^2\Sigma^+(v'=0) \rightarrow X^2\Pi(v''=0 \sim 11)$ 跃迁的 12 个振动带。运用两步激发的方法, 研究了 $E^2\Sigma^+(v=0)$ 能级激发后在紫外波段的 LIF 光谱, 明显测量到了 $E^2\Sigma^+(v=0)$ 能级直接跃迁到基态 $X^2\Pi$ 的荧光振动带。

关键词: NO 分子, LIF 光谱

LIF spectra of $A^2\Sigma^+$ and $E^2\Sigma^+$ states of NO molecule

Zhong Mingcheng, Zhang Peilin, Zhao Shuoyan

(Department of Modern Applied Physics, Tsinghua University, Beijing)

Abstract: The LIF spectrum of $A^2\Sigma^+(v=0)$ level of NO molecule has been studied by one-photon excitation. Twelve vibrational bands of $A^2\Sigma^+(v'=0 \sim 11)$ transition were observed. By using the method of two-step excitation, we studied for the first time the LIF spectrum in UV region after the $E^2\Sigma^+(v=0)$ energy level was excited. The vibrational bands directly from $E^2\Sigma^+(v=0)$ level to ground state $X^2\Pi$ were obviously measured.

Key words: NO molecule, LIF spectrum

本文将报道两步激发 $E^2\Sigma^+(v=0)$ 能级后在紫外波段测量到的激光感生荧光(LIF)光谱, 以及单光子激发 $A^2\Sigma^+(v=0)$ 能级后的 LIF 光谱。

一、实验装置

实验装置如图 1 所示。倍频的 Nd:YAG 激光器同时泵浦两台染料激光器。其中染料激光器 3 输出的可见激光(573.013 nm)经倍频之后成为紫外激光(286.507 nm), 再与 1.064 μm 激光混频产生波长为 225.725 nm 的激光。另一台染料激光器输出可见激光(597.84 nm)。这两束激光经光学元件反射、聚焦后, 在 NO 样品室中同轴共焦, 对 NO 分子进行两步激发。NO 分子的侧向荧光由 MgF₂ 透镜 L_3 收集到单色仪中分光, 光电倍增管接受, Boxcar(PAR 162/165)积分器处理后由 x-y 记录仪记录。荧光收集系统及单色仪均可采用分子筛吸附泵系统抽真空; 光电倍增管外套抽真空后充 Ar 气保护。

收稿日期: 1990 年 4 月 24 日; 修改稿收到日期: 1990 年 7 月 27 日。

* 本工作得到国家自然科学基金资助; ** 现在北京北方交通大学物理系工作(100044)。

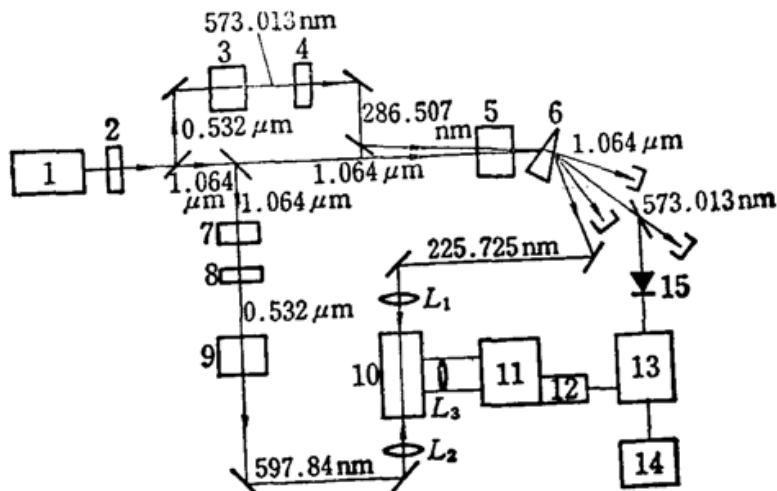


Fig. 1 Experimental setup

1—Nd:YAG laser; 2, 4, 7—KDP SHG systems; 3, 9—dye lasers; 5—mixing system;
6—prism; 8—filter; 10—sample cell; 11—monochromator; 12—PMT; 13—Boxcar;
14—recorder; 15—PD trigger; L_1, L_2 —quartz lenses ($f=400\text{mm}$); L_3 —MgF₂ lens ($f=500\text{mm}$)

二、光谱的测量与分析

图2是NO分子的部分能级图，并标出了采用的激发过程和观察研究的荧光跃迁过程。
 $A^2\Sigma^+$ 能级是NO分子双重态中第一个激发态。

我们用波长为225.725 nm的激光单光子激发 $A^2\Sigma^+$ ($v=0$)能级，选用宽带响应的光电倍增管R456(160~870 nm)接受荧光信号，测量到了它到基态 $X^2\Pi$ 的LIF光谱，如图3所示。共观测到 $A^2\Sigma^+(v'=0)\rightarrow X^2\Pi(v''=0\sim 11)$ 12个振动带，比以往的文献报道多观察到两个振动带($v''=10, 11$)。 $A^2\Sigma^+(v'=0)\rightarrow X^2\Pi(v'')$ 跃迁振动带相对强度的实验值及理论计算值如图4所示。从中可以看出，两者基本符合。

NO分子 $E^2\Sigma^+(v=0)$ 能级的两步激发LIF光谱的实验是这样进行的。第一束激光(225.725 nm)将NO分子从基态 $X^2\Pi$ 激发到 $A^2\Sigma^+(v=0, N=14)$ ；第二束激光(597.84 nm[对应 $E^2\Sigma^+ \rightarrow A^2\Sigma^+$ 跃迁R(14)支]，再将NO分子激发到 $E^2\Sigma^+(v=0, N=15)$ 能级。用光电倍增管R1080(115~320 nm)接受荧光信号，在175~225 nm范围内测量到的LIF光谱见图5。图中，我们明显测量到了 $E^2\Sigma^+(v=0)$ 到基态 $X^2\Pi$ 的荧光发射振动带。同时还观测到了 $D^2\Sigma^+(v=0)$ 、 $C^2\Pi(v=0)$ 到基态的荧光跃迁振动带。这些振动带的波长实验值见下表。

虽然测量到的 $E^2\Sigma^+(v'=0)$ 能级直接跃迁到基态 $X^2\Pi$ 的荧光振动带强度比较弱，但说明 $E^2\Sigma^+$ 能级存在直接跃迁到基态的荧光发射跃迁通道，如果进一步提高激发和检测效率，就可以测到更多的 $E^2\Sigma^+ \rightarrow X^2\Pi$ 跃迁荧光振动带，从而得到相应的Franck-Condon因子等参数。

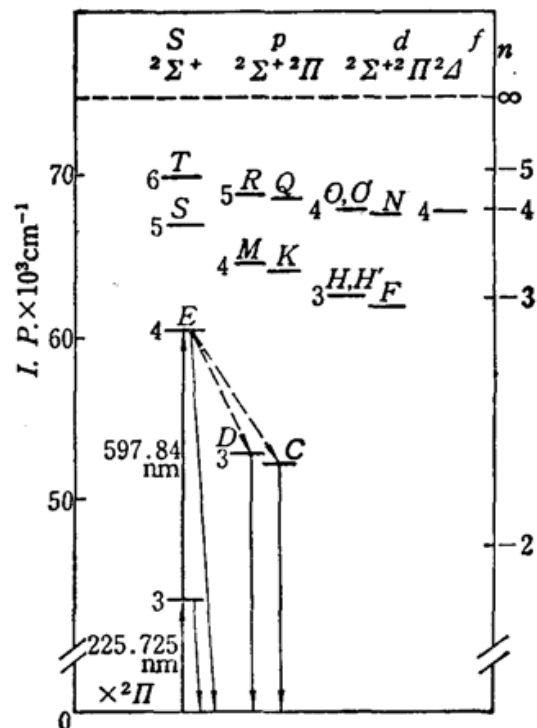


Fig. 2 Energy levels diagram of NO molecule

Transition ν'' λ (nm)	0	1	2	3	4	5
$E^2\Sigma^+(v'=0) \rightarrow X^2\Pi(v'')$				181.3	187.1	193.6
$D^2\Sigma^+(v'=0) \rightarrow X^2\Pi(v'')$	188.2	194.8	202.2	209.8	218.0	
$C^2\Pi(v'=0) \rightarrow X^2\Pi(v'')$	191.4	198.4	206.0	214.0	222.4	

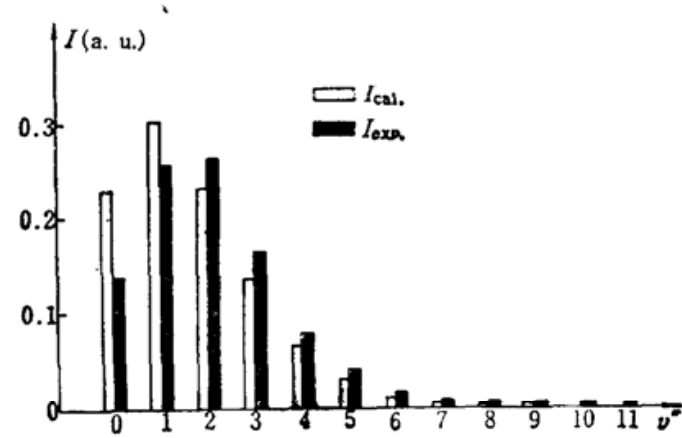
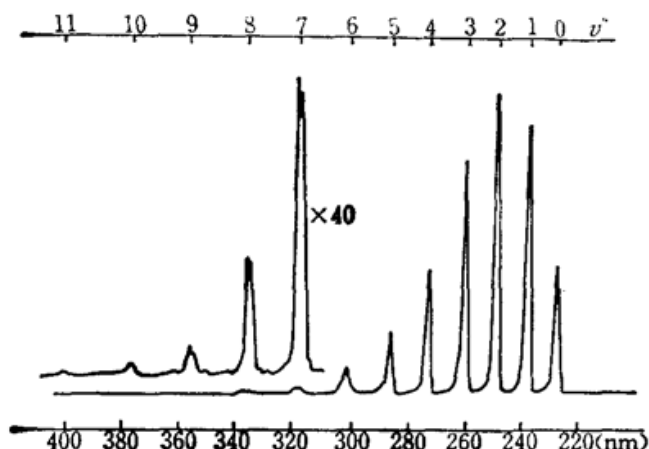


Fig. 4 Experimental and theoretical strengths of $A^2\Sigma^+ \rightarrow X^2\Pi(0, v'')$ fluorescent vibrational bands

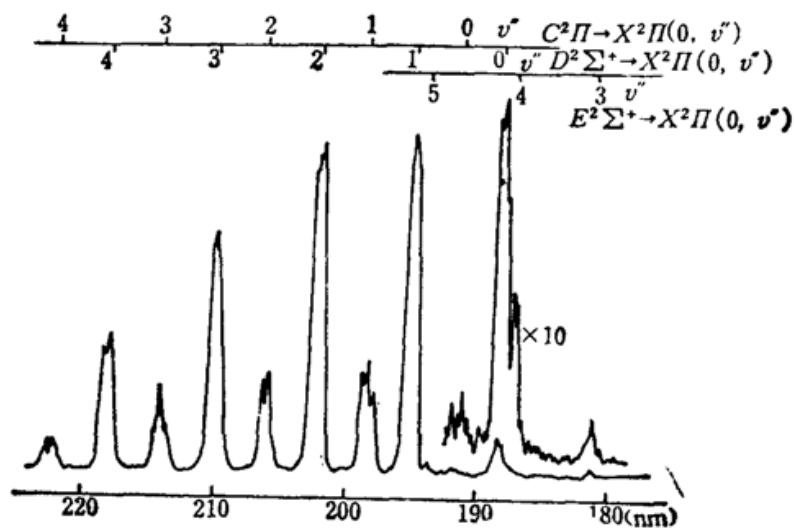


Fig. 5 LIF emission spectrum of $E^2\Sigma^+(v=0)$ level by two-step excitation ($P_{NO} = 4.5$ Torr)

的实验值。图 5 中的 $D^2\Sigma^+(v=0)$ 和 $C^2\Pi(v=0)$ 能级到基态的荧光振动带, 是由于 $E^2\Sigma^+(v=0)$ 能级上分子转移到 $D^2\Sigma^+$ 、 $C^2\Pi$ 能级上造成的。并且从荧光振动带强度可以看出, $E^2\Sigma^+$ 能级上的分子大部分是通过中间能级 $D^2\Sigma^+$ 、 $C^2\Pi$ 串联跃迁回基态的。 $D^2\Sigma^+(v'=0) \rightarrow X^2\Pi(v'')$ 跃迁的荧光强度比 $C^2\Pi(v'=0) \rightarrow X^2\Pi(v'')$ 跃迁的荧光强度要大。这是由于 $E^2\Sigma^+$ 能级上分子转移到 $D^2\Sigma^+$ 能级(跃迁振子强度 $f = 0.41^{[1]}$)的数量比到 $C^2\Pi(f = 0.003)$ 能级上多的缘故。

参 考 文 献

- 1 R. Gallusser, K. Dressler, ZAMP, 22, 792 (1971)